

А К А Д Е М И Я Н А У К С С С Р  
СИБИРСКОЕ ОТДЕЛЕНИЕ  
А В Т О М Е Т Р И Я

№ 4

1968

**КРАТКИЕ СООБЩЕНИЯ**

УДК 62—50 : 519.25

**A. D. БОЛЫЧЕВЦЕВ**  
(Донецк)

**АПОСТЕРИОРНЫЕ ВЕРОЯТНОСТИ  
АВАРИЙНОГО РЕЖИМА КОНТРОЛИРУЕМОГО ПРОЦЕССА**

Пусть в некоторый момент времени  $t_0$  получена информация о величине ординаты контролируемого процесса  $X(t)$  и знаке его производной  $V(t)$ :

$$X(t_0) = C_0; \quad V(t_0) \geq 0. \quad (1)$$

Зная двух- и трехмерные плотности вероятностей  $f(x, v/t_0)$  и  $f(x, y, v/t_0, t_1)$  совместного распределения случайных величин  $X(t_0)$ ,  $V(t_0)$  и  $X(t_0)$ ,  $X(t_1)$ ,  $V(t_0)$  соответственно, нетрудно определить вероятность нахождения процесса в момент времени  $t_1$  выше некоторого фиксированного уровня  $C$ , большего, чем  $C_0$ :

$$P(t_1, t_0) = \int\limits_{C}^{\infty} \int\limits_{0}^{\infty} f(C_0, y, v/t_0, t_1) dy dv / \int\limits_{0}^{\infty} f(C_0, v/t_0) dv. \quad (2)$$

Это соотношение оказывается полезным при решении ряда конкретных физических задач. В частности, если под уровнем  $C$  понимать граничный технологический уровень, результат (2) показывает, какова вероятность аварийного или нежелательного режима по истечении времени  $\tau = t_1 - t_0$  после получения системой «предупредительного» сигнала.

Для стационарных контролируемых процессов функция  $P(t_1, t_0)$  зависит только от взаимного расположения моментов времени  $t_1$  и  $t_0$  и имеет вид

$$P(t_1, t_0) = P(\tau) = \int\limits_{C}^{\infty} \int\limits_{0}^{\infty} f(C_0, y, v/\tau) dy dv / \int\limits_{0}^{\infty} f(C_0, v) dv. \quad (3)$$

Последнее выражение упрощается, если в начальный момент времени фиксируется только ордината процесса, а знак скорости остается неизвестным [ср. с условием (1)]:

$$P_0(\tau) = \int\limits_C^{\infty} f(y/C_0, \tau) dy. \quad (4)$$

Практически важным является нормальный стационарный случай. Обозначим

$$h = (\xi - R_x C_0) / \sqrt{2(1 - R_x^2)}, \quad (5)$$

где  $\xi$ ,  $c_0$  и  $c$  (используется ниже) — нормированные уклонения:

$$\xi = (y - m)/\sigma; \quad c_0 = (C_0 - m)/\sigma; \quad c = (C - m)/\sigma; \quad (6)$$

здесь  $R_x$  — нормированная корреляционная функция процесса  $X(t)$ ;  $m$  — математическое ожидание;  $\sigma^2$  — дисперсия.

В этих обозначениях условная плотность вероятности  $f(y/C_0, \tau)$  принимает вид

$$f(y/C_0, \tau) = e^{-h^2/\sigma^2} \sqrt{2\pi(1 - R_x^2)}, \quad (7)$$

что после интегрирования по формуле (4) дает

$$2P_0(\tau) = 1 - \Phi(h_c), \quad (8)$$

где  $\Phi(z)$  — интеграл вероятностей

$$\Phi(z) = \frac{2}{\sqrt{\pi}} \int_0^z e^{-u^2} du; \quad (9)$$

$h_c$  — результат подстановки  $\xi=c$  в сомножителе  $h$ :

$$h_c = (c - R_x C_0) / \sqrt{2(1 - R_x^2)}. \quad (10)$$

Итак, условная вероятность  $P_0(\tau)$  описывается интегралом вероятностей и является функцией трех нормированных параметров: граничного уровня  $c$ , уровня сравнения  $c_0$  и корреляционной функции  $R_x = R_x(\tau)$ . Последняя в неявном виде определяет зависимость от времени  $\tau$ .

Аргумент  $h_c$  связывает воедино корреляционную функцию контролируемого процесса с уставками системы и может быть назван обобщенным параметром контроля.

В приложениях централизованного контроля и управления основной интерес представляет рассматриваемый ниже случай положительных  $c_0$ , что соответствует верхнему уровню сравнения. При переходе процессом *нижнего* уровня ( $c_0$  — отрицательно) важно знать вероятность выброса за нижнюю границу:  $c < c_0$ . Результаты решения обеих задач для гауссова процесса одинаковы.

Общий вид функции  $P_0(\tau)$  показан на рис. 1, а. При  $\tau = 0$  ( $R_x = 1$ ) и значениях уровня  $c$ , строго больших  $c_0$ , функция равна нулю. При больших удалениях  $\tau$  ( $R_x \approx 0$ )

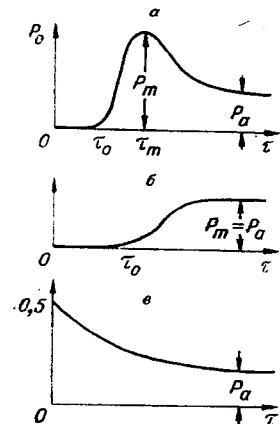


Рис. 1. Различные варианты поведения апостериорной вероятности  $P_0(\tau)$ :

(0,  $\tau_0$ ) — участок малых абсолютных значений функции;  $\tau_m$  — абсцисса максимума  $P_0(\tau)$ ;  $P_m$  — величина максимума;  $P_a$  — априорная вероятность нахождения процесса выше граничного уровня.

она обращается в априорную вероятность  $P_a$  нахождения процесса выше уровня  $c_0$ :

$$2P_a = 1 - \Phi(c/\sqrt{2}). \quad (11)$$

В точке  $\tau_m$ , соответствующей значению  $R_x = c_0/c$ , функция достигает максимума, удвоенная величина которого равна

$$2P_m = 1 - \Phi\left[\sqrt{(c^2 - c_0^2)/2}\right]. \quad (12)$$

В частном случае нулевого уровня сравнения ( $c_0=0$ ) максимум функции совпадает с установленным значением  $P_a$  (см. рис. 1, б).

Для значений разности  $c^2 - c_0^2 \lesssim 2$ , т. е. удвоенных величин максимума  $2P_m$ , сравнимых с единицей, удобно выделить участок малых абсолютных значений функции, определив его верхнюю границу как ближайшую к оси ординат абсциссу  $\tau_0$  максимума кривизны  $P_0(\tau)$ . Соответствующие вычисления дают  $h_c = \sqrt{3}$  и приближенное значение  $\tau_0$ , выраженное через корреляционную функцию процесса:

$$R_x(\tau_0) = 1 - \frac{1}{12}(c - c_0)^2. \quad (13)$$

Наибольшее значение анализируемой вероятности на этом участке — величина второго порядка малости  $2P_0(\tau_0) \approx 10^{-2}$ . В случае, когда уровни  $c$  и  $c_0$  совмещены, вероятность  $P_0(\tau)$  описывается зависимостью

$$2P_0(\tau) = 1 - \Phi\left[c\sqrt{1 - R_x}/\sqrt{2(1 + R_x)}\right], \quad (14)$$

представленной на нижнем графике рис. 1, в.

Обратимся теперь к случаю, описываемому формулой (3). Для нормального про-

Здесь

$$\varphi(v) = 1 - \Phi(v), \quad (16)$$

а аргумент  $v$  определяется соотношением

$$v = R_v (\xi - R_x C_0) / \sqrt{2\Delta(1 - R_x^2)} = ah; \quad (17)$$

при этом

$$\Delta = 1 - R_x^2 - R_v^2, \quad a = R_v / \sqrt{\Delta};$$

$R_v$  — нормированная корреляционная функция связи процесса и его производной; параметр  $h$  определяется выражением (5).

Сравнение выражений (15) и (4) показывает, что они совпадают друг с другом с точностью до весового коэффициента  $\varphi(v)$ .

Как следует из (17), знак аргумента  $v$  совпадает со знаком  $R_v$ . Это позволяет найти оценку коэффициента  $\varphi(v)$  во всем интервале изменения времени  $\tau$   $(0, \infty)^*$

$$1 \leq \varphi(v) \leq 2. \quad (18)$$

Оценка (18) показывает, что влияние коэффициента  $\varphi(v)$  на величину изучаемой вероятности носит слабый «количественный» характер и качественные закономерности в поведении обеих функций  $P_0(\tau)$  и  $P(\tau)$  одинаковы.

После подстановок (16) и (17) в выражение (15) последнее принимает вид

$$P(\tau) = \frac{1}{\sqrt{\pi}} \int_{h_c}^{\infty} [1 - \Phi(ah)] e^{-h^2} dh. \quad (19)$$

Хотя интеграл (19) в общем виде не берется в элементарных функциях, легко находятся его граничные оценки

$$\frac{1}{2} [1 - \Phi(ah_c)] [1 - \Phi(h_c)] \leq P(\tau) \leq 1 - \Phi(h_c), \quad (20)$$

построенные на рис. 2. В интервале  $(0, \tau_m)$  верхняя и нижняя оценки близки друг к другу, а в интервале  $(0, \tau_0)$  малых абсолютных значений  $P(\tau)$  погрешности обоих приближений пренебрежимо малы.

Нижней граничной оценкой

$$P(\tau) = \frac{1}{2} [1 - \Phi(ah_c)] [1 - \Phi(h_c)] \quad (21)$$

удобно пользоваться в тех случаях, когда желательно описать поведение апостериорной вероятности  $P(\tau)$  во времени одним аналитическим выражением. При надлежащем соотношении уровней  $c$  и  $c_0$  эта оценка дает удовлетворительное приближение во всех точках  $\tau$ . В большинстве же случаев предпочтительнее оперировать с верхней оценкой

$$P(\tau) = 1 - \Phi(h_c), \quad (22)$$

ввиду ее простоты и точности в наиболее важном для приложений интервале начальных значений функции  $P(\tau)$ .

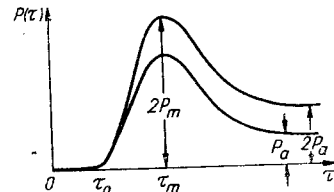


Рис. 2. Граничные оценки апостериорной вероятности  $P(\tau)$ .

Поступило в редакцию  
7 февраля 1967 г.,  
окончательный вариант —  
3 июня 1967 г.

\* Предполагается, что в этом интервале  $R_x(\tau)$  описывается монотонно убывающей функцией.